

Применение нейронных сетей для анализа состояния тонких пленок органических соединений на поверхности воды

Филимонов А.В., Валькова Л.А., Ососков Г.А.

Аннотация

В данной работе нейронные сети (НС) используются как метод для построения модели процесса сжатия слоев органических соединений на поверхности раздела фаз вода - воздух. Рассматривается возможность применения НС для анализа таких слоев и интерполяции экспериментальных данных.

Постановка задачи

В [1] изучено поведение тонких пленок 3 – нитро – 5 – трет – бутил – фталоцианина меди (CuPc*) на поверхности воды при сжатии. Данное соединение (рис. 1) исследуется для создания сенсорных наноматериалов.

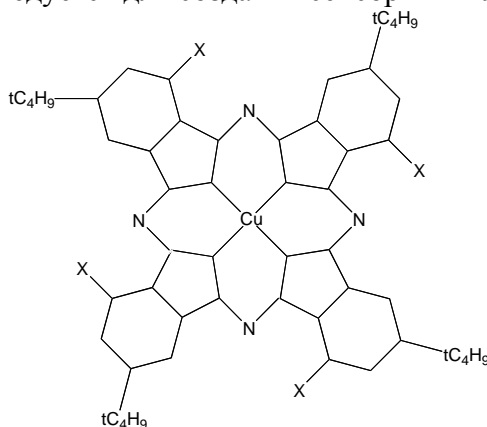


Рисунок 1. CuPc* (X=NO₂).

В процессе сжатия оцениваются такие физические параметры слоя как: площадь A , приходящаяся на одну молекулу, и поверхностное давление π . На основе полученных данных строятся графики: $\pi=f(A^{-1})$ и $\pi A=g(\pi)$. Нас интересуют линейные участки графиков, т.к. они соответствуют определенным фазовым состояниям слоя. Используя линейные зависимости:

$$\pi=a+EA^{-1} \quad (1)$$

$$\pi A=C+\pi A_{\text{mol}} \quad (2)$$

можно оценить величину, характеризующую фактор сжатия слоя в определенном фазовом состоянии, E и предельную площадь, приходящуюся на одну молекулу, A_{mol} .

Для оценки параметров E и A_{mol} при изменении условий формирования слоя (в частности, начальной поверхностной концентрации) требуется проведение нового эксперимента и расчетов. В данной работе с этой целью предлагается использовать математическую модель, построенную на основе использования нейронных сетей [2, 3].

При построении модели было показано, что нейронные сети нельзя использовать “в лоб” для моделирования экспериментальных зависимостей $\pi=f(A^{-1})$ и $\pi A=g(\pi)$ при различных начальных концентрациях. Проблема связана с наличием областей сосуществования фаз (переходных точек между

линейными участками). На основе этого факта был предложен метод выявления области фазовых переходов с помощью нейронных сетей.

Т.к. экспериментальные зависимости $\pi=f(A^{-1})$ и $\pi A=g(\pi)$ не удается корректно смоделировать, то во второй части данной работы предлагается альтернативный подход для оценки параметров E и A_{mol} .

Для выбора оптимальной структуры сети использовался метод динамической оптимизации структуры сетей [4].

Выявление областей фазовых переходов

Для выявления областей фазовых переходов используется способность нейронных сетей выявлять аномальные и противоречивые данные.

Нейронная сеть обучается на аппроксимацию зависимостей $\pi=f(A^{-1})$ и $\pi A=g(\pi)$. Если имеются противоречивые или аномальные данные, то при тестировании сети они дадут максимальную погрешность распознавания. Точки областей фазовых переходов и являются аномальными точками. Действительно, сеть не может аппроксимировать кусочные функции, а анализируемые графики зависимостей являются такими функциями, поскольку состоят из линейных и нелинейных участков. Сеть будет пытаться представить график в сглаженном виде. Если наложить друг на друга графики, смоделированные сетью и полученные по экспериментальным данным, можно убедиться, что наибольшие расхождения (погрешности) приходятся на точки областей фазовых переходов (рис. 2).

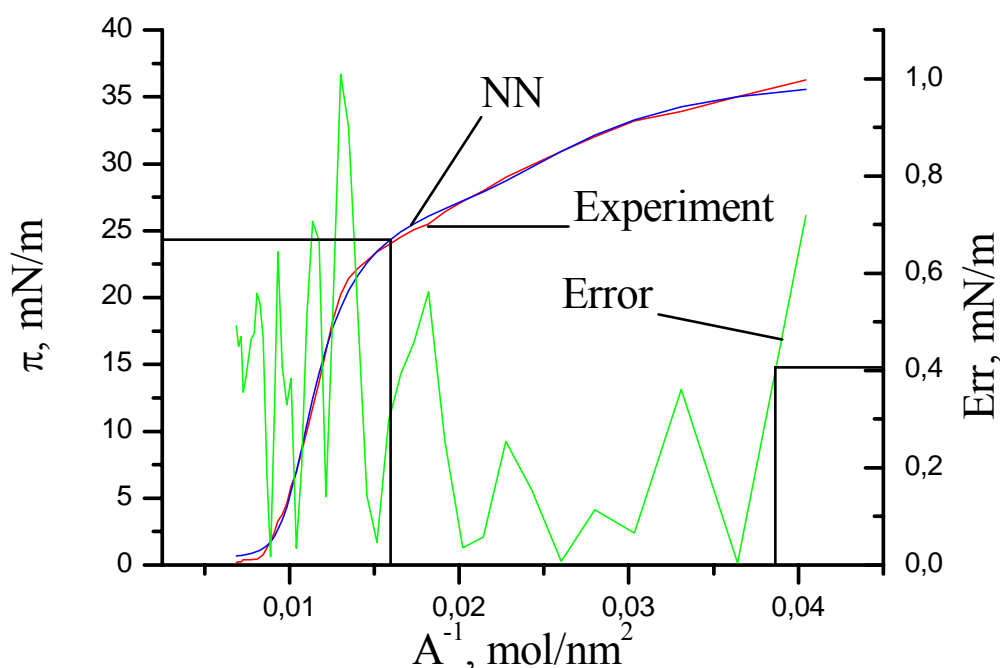


Рисунок 2. Графики зависимостей $\pi=f(A^{-1})$, построенные по экспериментальным и смоделированным сетью данным, и график зависимости величины погрешности от величины $1/A$ (начальная поверхностная концентрация $N_0 = 6,1 \cdot 10^7$, моль·м⁻²).

Для того, чтобы определить, какие именно пики на рисунке являются фазовыми переходами необходим критерий отбора. В качестве такого критерия предложено использовать пороговое значение погрешности распознавания. Если значение погрешности распознавания больше порогового значения, то данная точка принадлежит к области фазового перехода. Порог определяется эмпирически исходя из следующих соображений. Во время эксперимента замеры площади A делаются через одинаковые интервалы. При таких условиях число экспериментальных точек, принадлежащих нелинейным участкам зависимостей $\pi=f(A^{-1})$ и $\pi A=g(\pi)$, составляет в среднем 15-20 % от общего числа точек. Таким образом, для порогового значения задается условие: выше порога должно находиться не более 15-20% экспериментальных точек.

В таблице 1 представлены результаты поиска областей фазовых переходов (π_1 - π_2) и A_{mol} с помощью нейросетей и без них для разных значений N_0 (в данном случае сравнение продемонстрировано на областях, соответствующих однофазным состояниям слоя - линейные участки на графиках $\pi A - \pi$).

Таблица 1.

$N_0 \cdot 10^7$, моль·м ⁻²	С нейросетями		Без нейросетей ¹		Ошибка в определении $\Delta\pi_1 - \Delta\pi_2$	Ошибка в определении A_{mol} (%)
	π_1 - π_2 , мН·м ⁻¹	A_{mol} , нм ²	π_1 - π_2 , мН·м ⁻¹	A_{mol} , нм ²		
0.9	<3	2.6	<4	2.6	1	0
1.1	<0.7	3.4	<0.8	3.5	0.1	2.9
	6-19	1.51	7-20	1.7	0.1-1	4.4
1.7	<9.9	1.63	<10	1.7	0.1	4.2
	>11	0.9	>10	1.0	1	10.5
2	<2.7	1.84	<3	1.9	0.3	3.2
	>6.9	0.87	>7	0.9	0.1	3.4
2.1	<3	2.2	<2	2.1	1	4.6
	11-29	0.86	12-30	0.85	1-1	1.2
3	<0.9	1.7	<0.8	1.6	0.1	6.1
	3-7	1.4	2-6	1.2	1-1	15.4
	8-19	0.8	9-17	0.85	1-2	6.0
	>37	0.85	>37	0.85	0	0
4	<3.4	1.25	<4	1.3	0.6	4
	7-16	0.92	5-15	0.95	2-1	3.2
	27-32	0.94	28-31	0.95	1-1	1.0
6.1	<3	1.1	<3	1.1	0	0
	4-8	0.82	3-9	0.85	1-1	3.6
	25-35	0.83	26-33	0.85	1-2	2.4
8.8	<2.6	1.2	<2.5	1.1	0.1	8.7
	2.9-12	0.87	3-13	0.9	0.1-1	3.4
	>13	0.8	>13	0.8	0	0

¹ Используются табличные данные из [1].

Как следует из таблицы среднее расхождение значений A_{mol} , полученных с помощью нейросетей, и непосредственно при анализе по графикам зависимости $\pi A - \pi$, построенных по экспериментальным данным, проведенном с помощью метода наименьших квадратов составляет 4 %. Среднее расхождение значений E составляет 10.85 %. Таким образом, несмотря на некоторое расхождение в определении областей фазовых переходов, что определяется, по-видимому, несовершенством критерия отбора пороговых точек, подход с использованием нейросетей позволяет получить хорошие результаты оценки основных параметров слоя.

Интерполяция данных

В данной работе предлагается представить E и A_{mol} как функции от начальной поверхностной концентрации молекул в слое, величины обратной к площади, приходящейся на одну молекулу, и поверхностного давления.

$$E = E(N_0, A^{-1}, \pi) \quad (4)$$

$$A_{\text{mol}} = A(N_0, \pi A, \pi) \quad (5)$$

Одновременно с задачей нахождения E и A_{mol} необходимо определить те значения π , которые соответствуют линейным участкам на графиках зависимостей $\pi=f(A^{-1})$ и $\pi A=g(\pi)$, поскольку E и A_{mol} определены только для этих участков.

Предлагается моделировать зависимость $\pi=\pi(A, N_0)$. При этом имитируются условия эксперимента, когда величина A изменяется равномерно. Используя две дополнительные нейросети, обученные на моделирование зависимостей 4 и 5.

При фиксированном значении начальной концентрации на вход сети поочередно подаются смоделированные значения π и A . На выходе сети, в зависимости от того на что эта сеть была обучена, получаются E или A_{mol} . Если построить графики зависимости $E = E(A^{-1}, \pi)$ и $A_{\text{mol}} = A(\pi A, \pi)$, то те значения π , которые соответствуют линейным участкам на графиках зависимостей $\pi=f(A^{-1})$ и $\pi A=g(\pi)$, образуют горизонтальные плато.

Для того, чтобы определить A_{mol} и E , а также диапазон изменения π для каждого линейного участка, достаточно прогистограммировать A_{mol} и E по всем точкам. На точки областей фазовых переходов, которым соответствуют нелинейные участки зависимостей $\pi=f(A^{-1})$ и $\pi A=f(\pi)$, в среднем приходится менее 15 % экспериментальных точек. Поэтому при гистограммировании бина с наибольшим количеством попавших внутрь этого бина точек соответствуют линейным участкам (рисунок 3). Границы бина определяют начало и конец участка. Середина бина соответствует значению A_{mol} и E в данном фазовом состоянии. Гистограмма, построенная для $N_0=0.9 \cdot 10^7$ Моль·м⁻² (рисунок 3) демонстрирует наличие одного линейного участка на кривой зависимости $\pi A=f(\pi)$, что соответствует фазовому состоянию слоя с $A_{\text{mol}} = 2.6 \text{ нм}^2$.

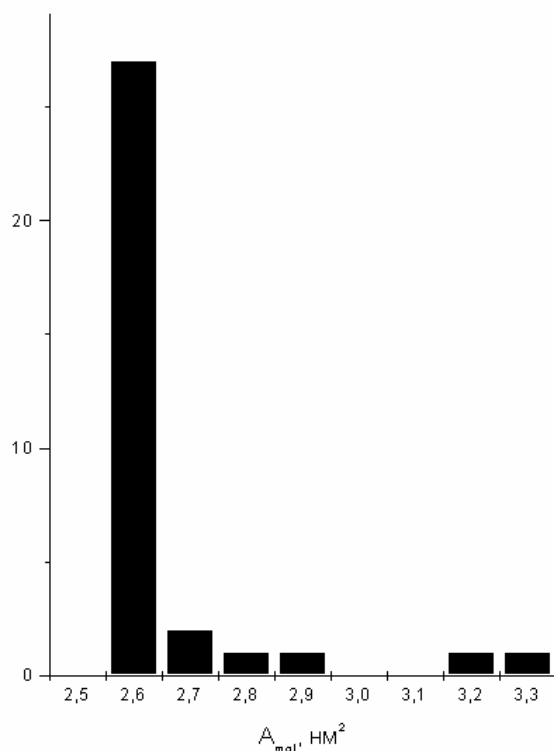


Рисунок 3. Гистограммирование величины A_{mol} при начальной поверхностной концентрации $N_0=0.9 \cdot 10^7$ моль·м⁻².

В таблицах 2 и 3 сравниваются величины A_{mol} и E , полученные с помощью интерполяции, с результатами, приведенными в работе [1].

Таблица 2. Интерполяция A_{mol} .

$N_0 \cdot 10^7$, Моль·м ⁻²	Интерполяция		Данные из работы [1]	
	$\pi 1 - \pi 2$, мН·м ⁻¹	A_{mol} , нм ²	$\pi 1 - \pi 2$, мН·м ⁻¹	A_{mol} , нм ²
1.7	<3	1.84	<10	1.7
	>12	0.91	>10	1.0
2.1	<2	1.85	<2	2.1
	14-19	0.9	12-30	0.85
2.2	<1	1.83	<2	1.6
	>14	0.89	>3	1.2
4	<4	1.22	<4	1.3
	>6	0.9	5-15	0.95
	Нет		28-31	

Используемый тип НС: перцептроны.

Метод обучения: Resilient Propagation.

Конфигурация сети: 2 нейрона в входном слое, 17 нейронов в первом скрытом слое, 9 – во втором скрытом слое, 1 – в выходном слое.

Опорные точки: $N_0 = 0,9; 1,1; 2; 3; 6.1; 8.8 \cdot 10^7$ Моль·м⁻².

В среднем, расхождение между результатами, полученными экспериментальным путем и с помощью интерполяции, составляет 11,4 %, т.е. нейронная сеть интерполирует значение A_{mol} почти с 90% точностью. Это вполне приемлемый результат. Таким образом, нейронная сеть способна аппроксимировать зависимость 5 при любых значениях начальной поверхностной концентрации, как для малых, так и для средних значений поверхностного давления. Исключение составляют большие давления ($\pi > 25$ мН/м).

Таблица 3. Интерполяция E.

$N_0 \cdot 10^7$, Моль·м ⁻²	Интерполяция		Данные из работы [1]	
	π 1- π 2, мН·м ⁻¹	$E \cdot 10^{21}$, Дж	π 1- π 2, мН·м ⁻¹	$E \cdot 10^{21}$, Дж
1.7	<0.8	2.2	<2	2.9
2	<0.85	1.5	<1	1.1
2.1	<1.34	2.34	<1	2
4	<0.64	1.7	<0.4	1

Используемый тип НС: персептроны.

Метод обучения: Resilient Propagation.

Конфигурация сети: 2 нейрона во входном слое, 14 нейронов в первом скрытом слое, 10 – во втором скрытом слое, 1 – в выходном слое.

Опорные точки: $N_0 = 0,9; 1,1; 3; 6.1 \cdot 10^7$ моль·м⁻².

В среднем, расхождение между результатами, полученными экспериментальным путем и с помощью интерполяции, составляет 30 %, т.е. нейронная сеть интерполирует значение E с 70 % точностью. Это означает, что при интерполяции E следует учитывать какие – то иные входные параметры.

Обсуждение результатов

С помощью нейросетей удалось провести интерполяцию величины A_{mol} . Показано, что A_{mol} корректно интерполируется при любых малых и средних значениях поверхностного давления, площади, приходящейся на одну молекулу, и начальной поверхностной концентрации, т.е. зависимость 5 справедлива при любых допустимых N_0 и π до 25 мН/м.

Величину E удалось интерполировать только при малых значениях π (до 5 мН/м). Тестирование показало, что сеть работает с 70 % эффективностью. Причина видимо в том, что при больших значениях поверхностного давления происходит изменение межмолекулярных взаимодействий, сопровождающееся резким уменьшением сжимаемости слоя (от 20 до 50 раз), что не учитывается в данной модели.

Заключение

Показано, что использование нейронных сетей для построения модели процесса сжатия слоев органических соединений на поверхности раздела фаз вода – воздух позволяет проводить интерполяцию экспериментальных данных - получать предсказания параметров слоев при новых начальных условиях формирования.

Предельную площадь, приходящуюся на одну молекулу, можно представить как функцию от начальной поверхностной концентрации, площади, приходящейся на одну молекулу, и поверхностного давления. Это справедливо как для низких, так и для средних (до 25 мН/м) поверхностных давлений. Величину, характеризующую сжимаемость слоя, удалось интерполировать только при малых значениях поверхностного давления.

Благодарности

Работа выполнена при поддержке Российского Фонда Фундаментальных Исследований (Проект № 03-02-16643а).

Литература

1. L. Valkova, N. Borovkov, M. Pisani, and F. Rustichelli, Structure of Monolayers of Copper Tetra-(3-nitro-5-tert-butyl)-Phthalocyanine at the Air-Water Interface *Langmuir*, 2001. V. 17 (12). P.3639-3642
2. Hecht-Nielsen R., Neurocomputing, Addison-Wesley publishing company, 1989.
3. Khanna T. Foundations of neural networks, Addison-Wesley publishing company, 1990.
4. Г.А. Ососков, А.В. Филимонов, Динамическая оптимизация структуры персептронов, Сообщение ОИЯИ, P11-2002-274, Дубна, 2002